

Modélisation des battements du cœur

- Plan:

I) Modèle de Van der Pol

II) Modèle de Zeeman

I) Modèle de Van der Pol

Contextualisation

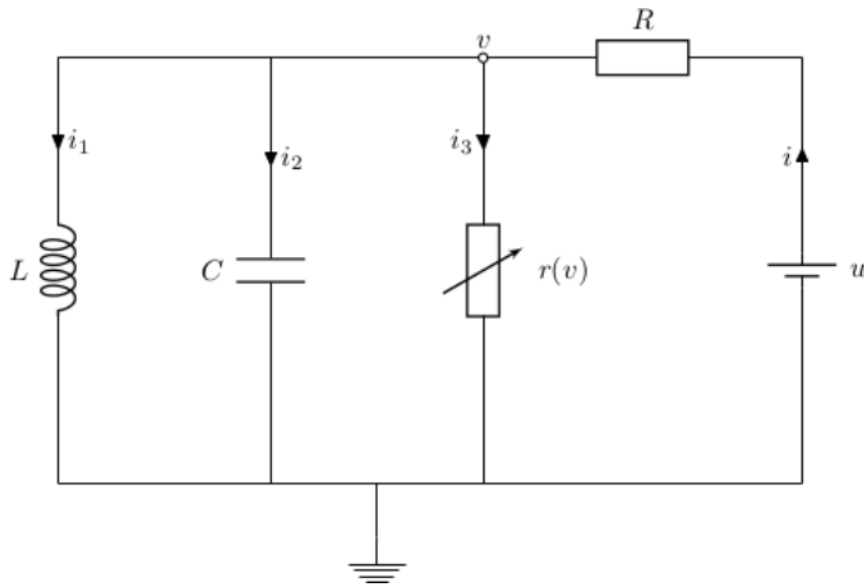
- Équation générale:

$$\ddot{x} - \varepsilon(1 - x^2)\dot{x} + \omega_0^2 x = 0$$

Où:

- ε = frottement;
- ω_0 = pulsation du système

Analogie électrocinétique du cœur



Crédit: CNRS

$$\frac{d^2 v}{dt^2} - \frac{1}{RC} \frac{dv}{dt} + \frac{1}{C} \frac{d}{dt} \left(\frac{v}{r(v)} \right) + \frac{1}{LC} v = 0$$

$$r(v) = \frac{RV_0^2}{v^2} \Rightarrow \frac{v}{r(v)} = \frac{v^3}{RV_0^2}$$

$$\Rightarrow \frac{d(\frac{v}{r(v)})}{dt} = \frac{3v^2}{RV_0^2} \frac{dv}{dt}$$

$$Posons \ x = \frac{\sqrt{3}v}{V_0}$$

$$\boxed{\frac{d^2x}{dt^2} - \frac{1}{RC}(1-x^2)\frac{dx}{dt} + \frac{1}{LC}x = 0}$$

Résolution numérique: méthode d'Euler

$$\ddot{x} - \varepsilon(1 - x^2)\dot{x} + \omega_0^2 x = 0 \Leftrightarrow \begin{cases} y = \dot{x} \\ \dot{y} = \varepsilon(1 - x^2)\dot{x} - \omega_0^2 x = 0 \end{cases}$$

$$\text{En posant } X = \begin{pmatrix} x \\ \dot{x} \end{pmatrix}$$

$$\text{Notons } h = \frac{t_{max}}{N-1}$$

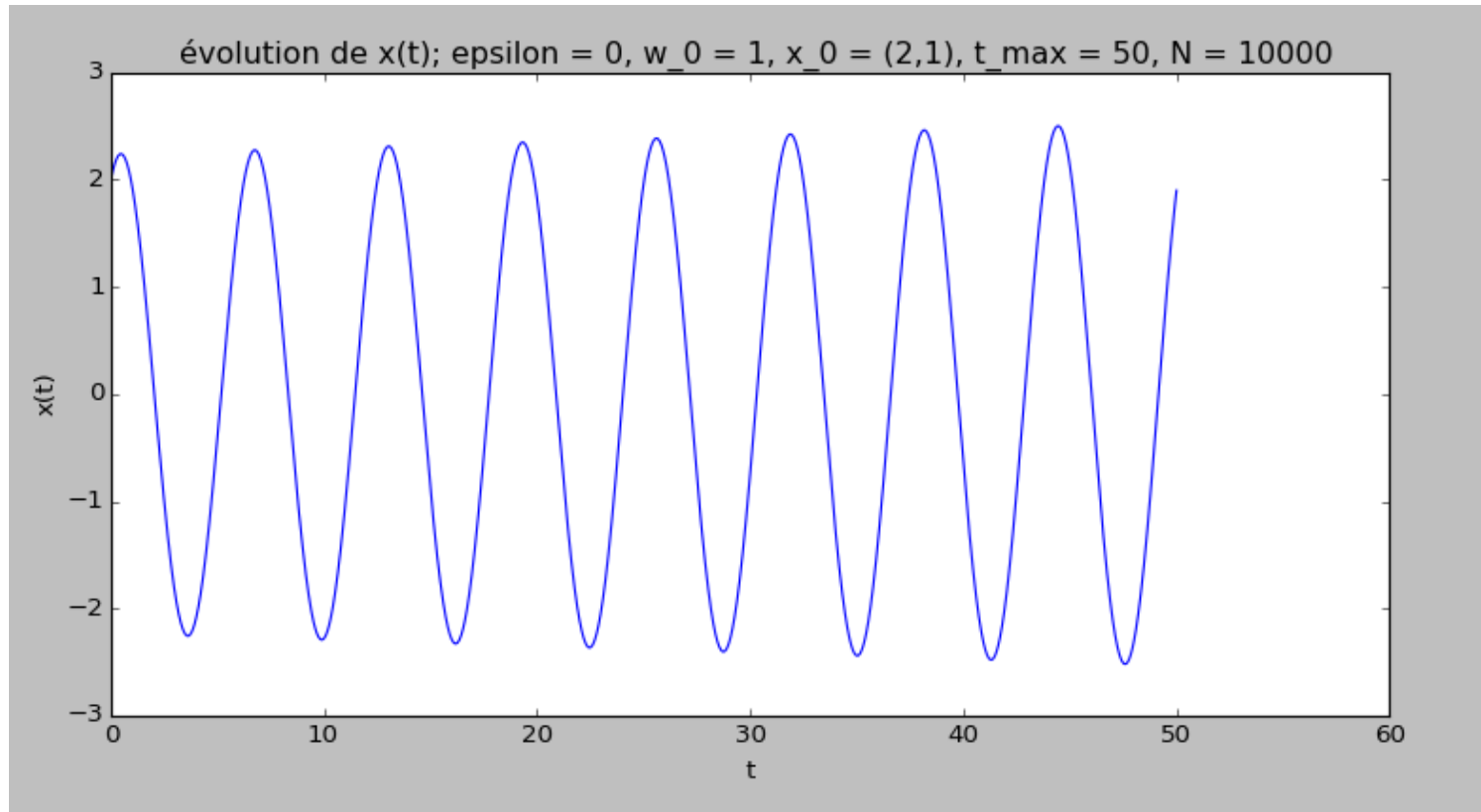
Où:

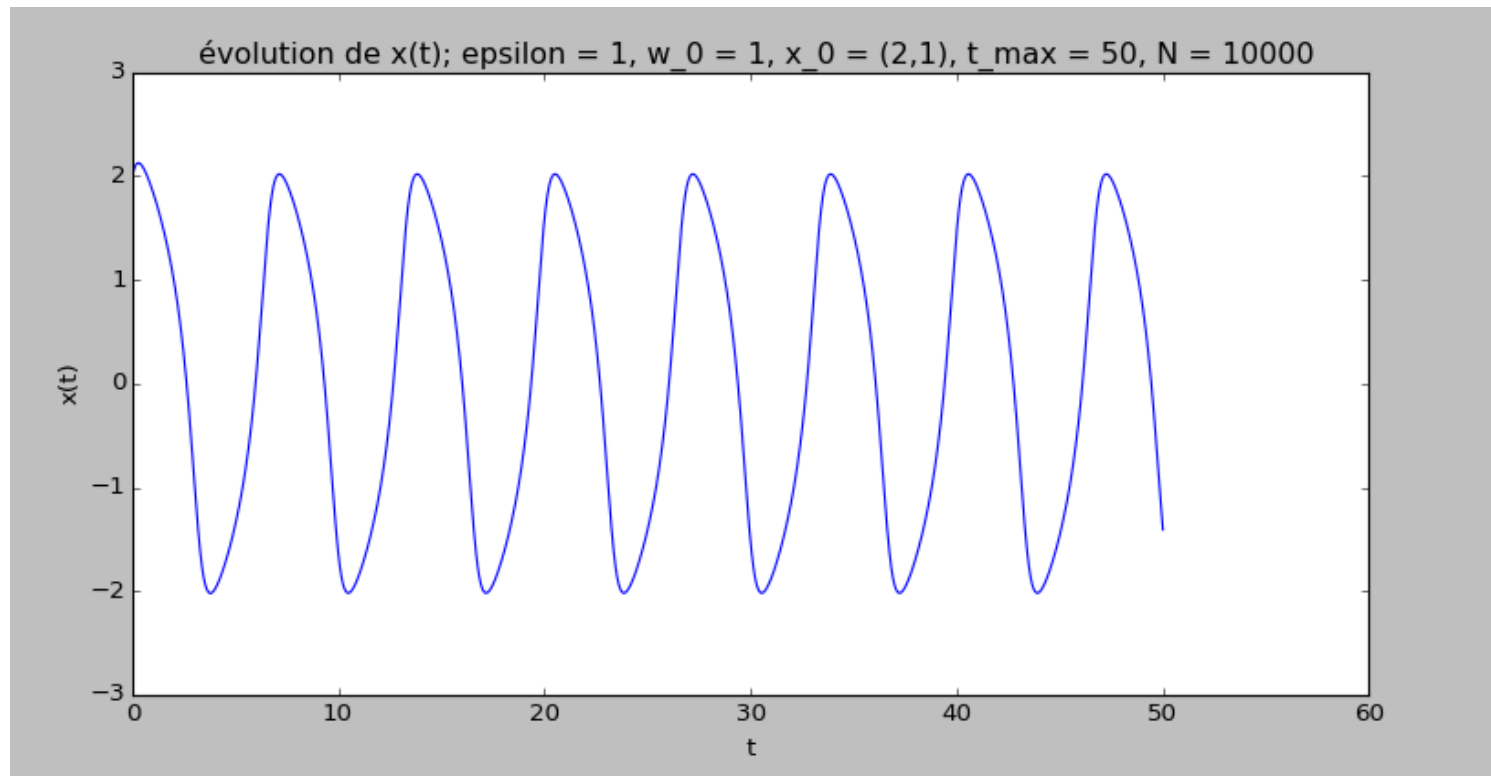
- t_{max} = temps d'intégration;
- N = nombre de points

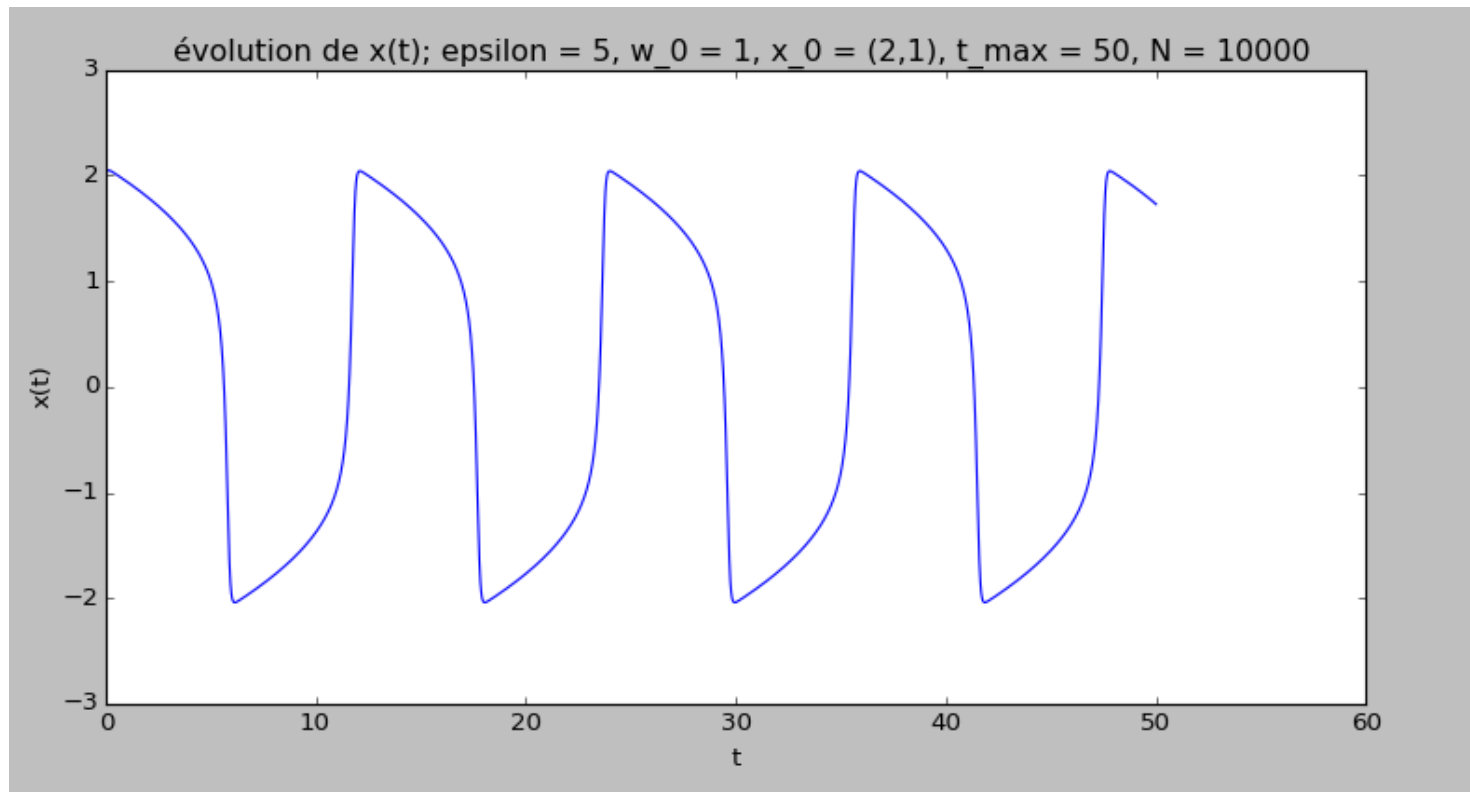
A la $i^{\text{ème}}$ itération:

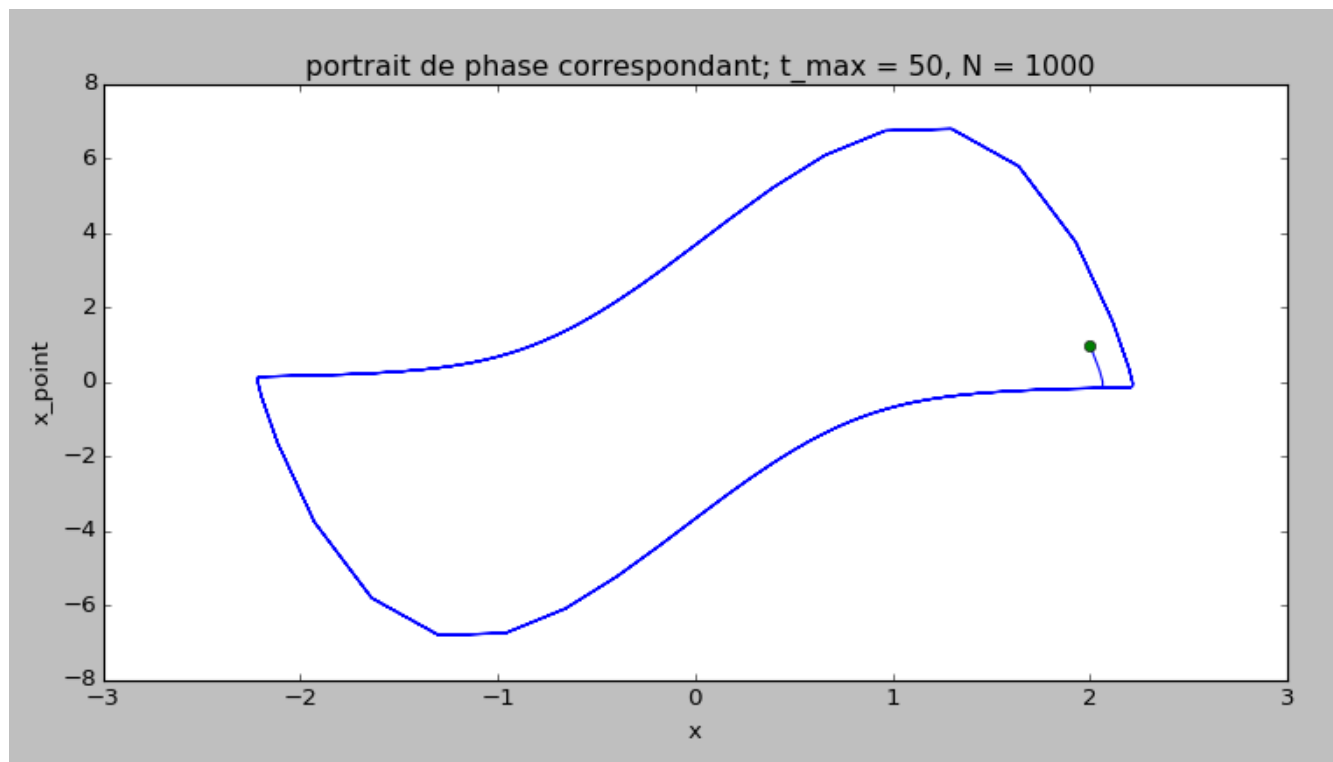
$$\begin{cases} t_i = t_0 + i \times h \\ f(X(t_i), \varepsilon) = \frac{X(t_{i+1}) - X(t_i)}{h} \end{cases}$$

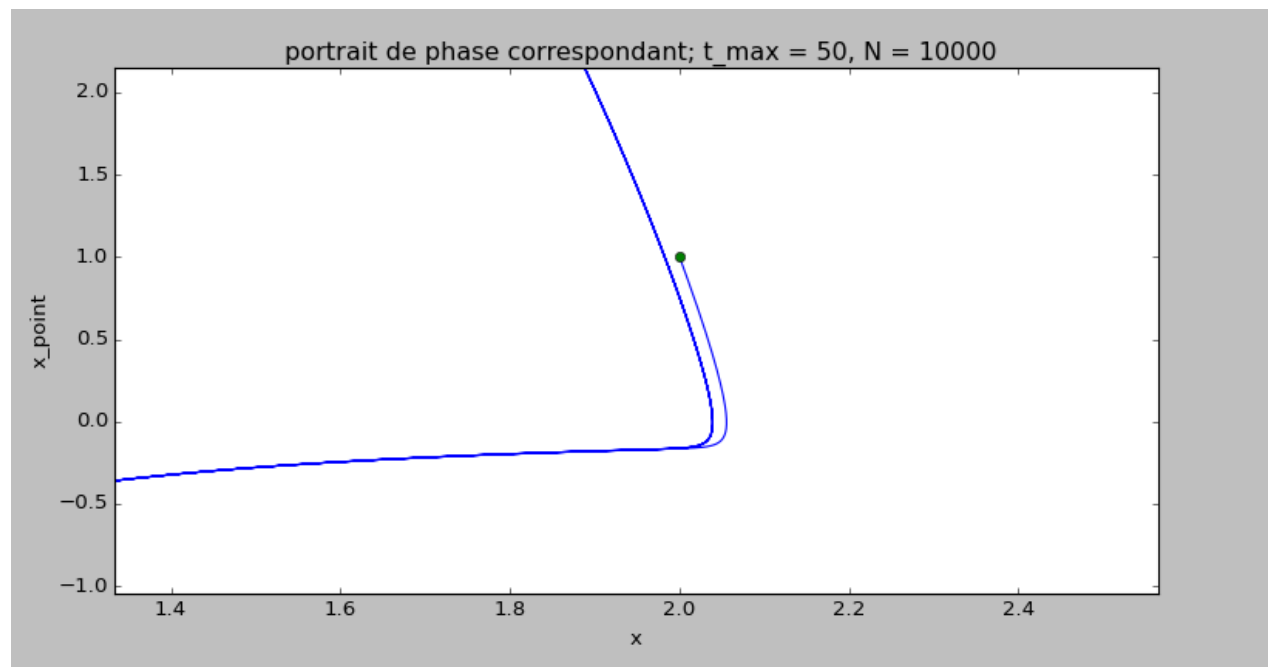
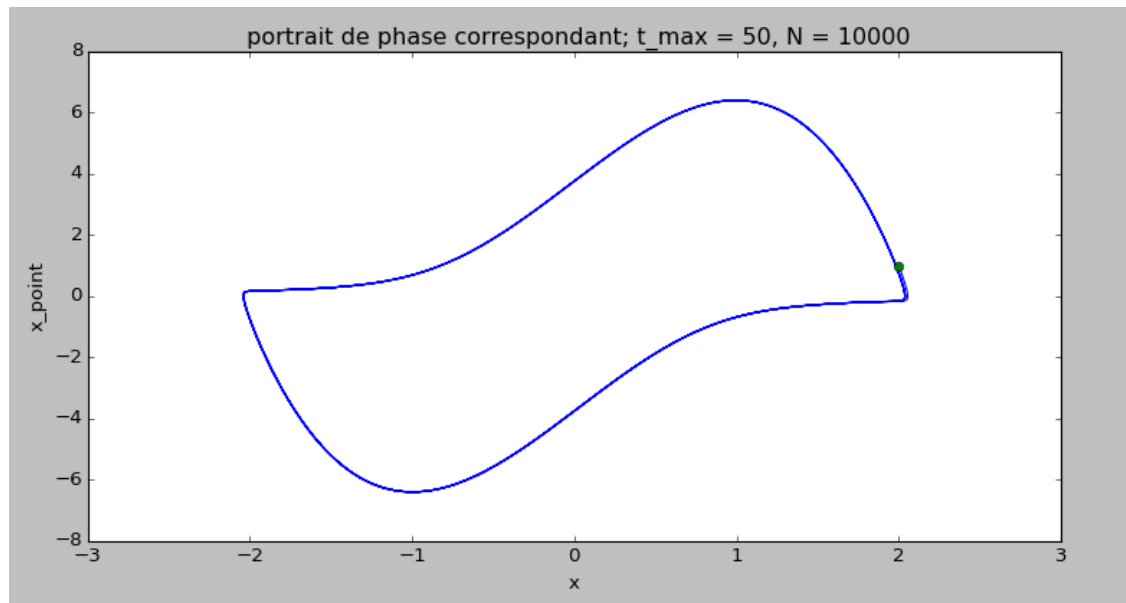
$$\Rightarrow X(t_{i+1}) = X(t_i) + f(X(t_i), \varepsilon)$$

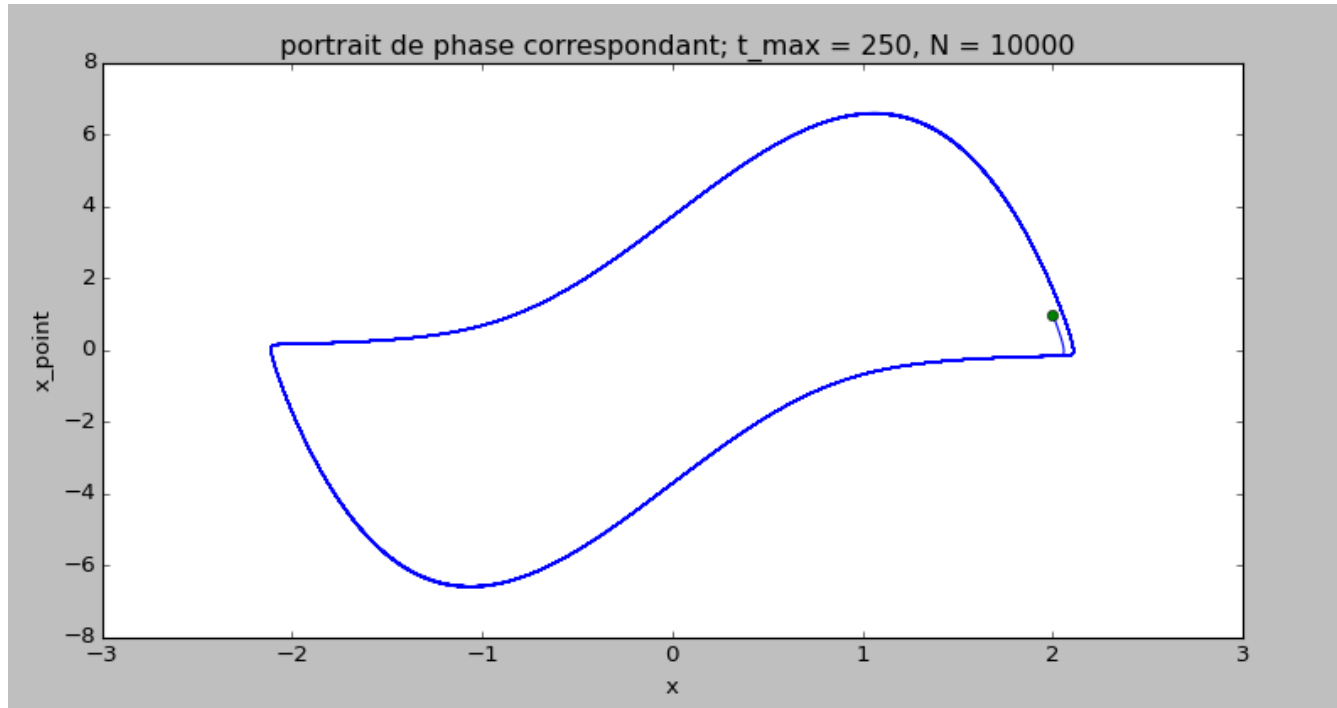












Erreur en $O(h)$

Étude des bifurcations

$$\ddot{x} - \varepsilon(1 - x^2)\dot{x} + \omega_0^2 x = 0 \Leftrightarrow \begin{cases} y = \dot{x} \\ \dot{y} = \varepsilon(1 - x^2)\dot{x} - \omega_0^2 x = 0 \end{cases}$$

$$f : (x, y) \mapsto (f_1(x, y), f_2(x, y))$$

$$\text{où } \begin{cases} f_1(x, y) = y \\ f_2(x, y) = \varepsilon(1 - x^2)y - \omega_0^2 x \end{cases}$$

$$f(x, y) \simeq df(0, 0)(x, y) = (y, -\omega_0^2 x + \varepsilon y)$$

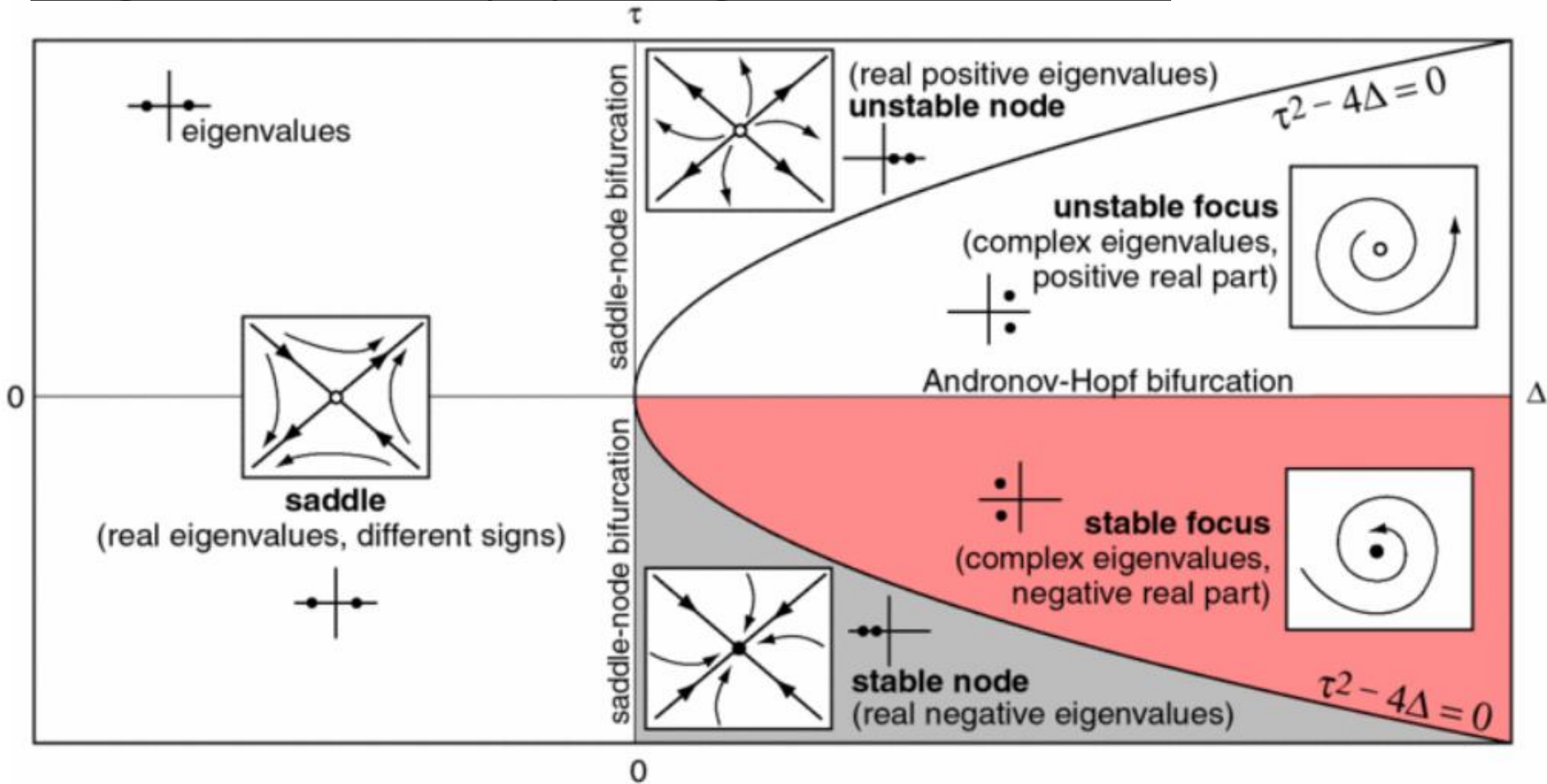
$$\mathbf{J}_f \begin{pmatrix} 0 \\ 0 \end{pmatrix} = \begin{pmatrix} 0 & 1 \\ -\omega_0^2 & \varepsilon \end{pmatrix}$$

$$\text{Notons } J_0 = \mathbf{J}_f \begin{pmatrix} 0 \\ 0 \end{pmatrix} \Rightarrow \chi_{J_0} = X^2 - \varepsilon X + \omega_0^2$$

$$\Delta_{\chi_{J_0}} = \tau^2 - 4\Delta \text{ en posant } \tau = \varepsilon \text{ et } \Delta = \omega_0^2$$

$$\lambda_{J_0} = \frac{\varepsilon}{2} \pm \frac{\sqrt{\varepsilon^2 - 4\omega_0^2}}{2}$$

Diagramme de Hopf par Eugene M. Izhikevich



Conclusion: $\varepsilon \geq 2\omega_0$

II) Modèle de Zeeman

$$\begin{cases} \dot{x} = \frac{-x^3 - Tx + y}{\epsilon} \\ \dot{y} = x - x_d + u(x_d - x_s) \end{cases}$$

Où:

- x = longueur des cellules myocardiques;
- y = activité électrochimique globale du cœur;
- T = tension musculaire appliquée ($T > 0$);
- u = fonction temporelle;
- ϵ = paramètre intrinsèque au système

$$f : (x, y) \mapsto \left(\frac{1}{\epsilon}(x^3 - Tx + y), x - x_d + u(x_d - x_0) \right)$$

$$\mathbf{J} \begin{pmatrix} x \\ y \end{pmatrix} = \begin{bmatrix} -\frac{1}{\epsilon}(3x^2 - T) & -\frac{1}{\epsilon} \\ 1 & 0 \end{bmatrix}$$

$$\lambda = \frac{1}{2\epsilon}((-3x_1^2 - T) \pm \sqrt{(-3x_1^2 - T)^2 - 4\epsilon})$$

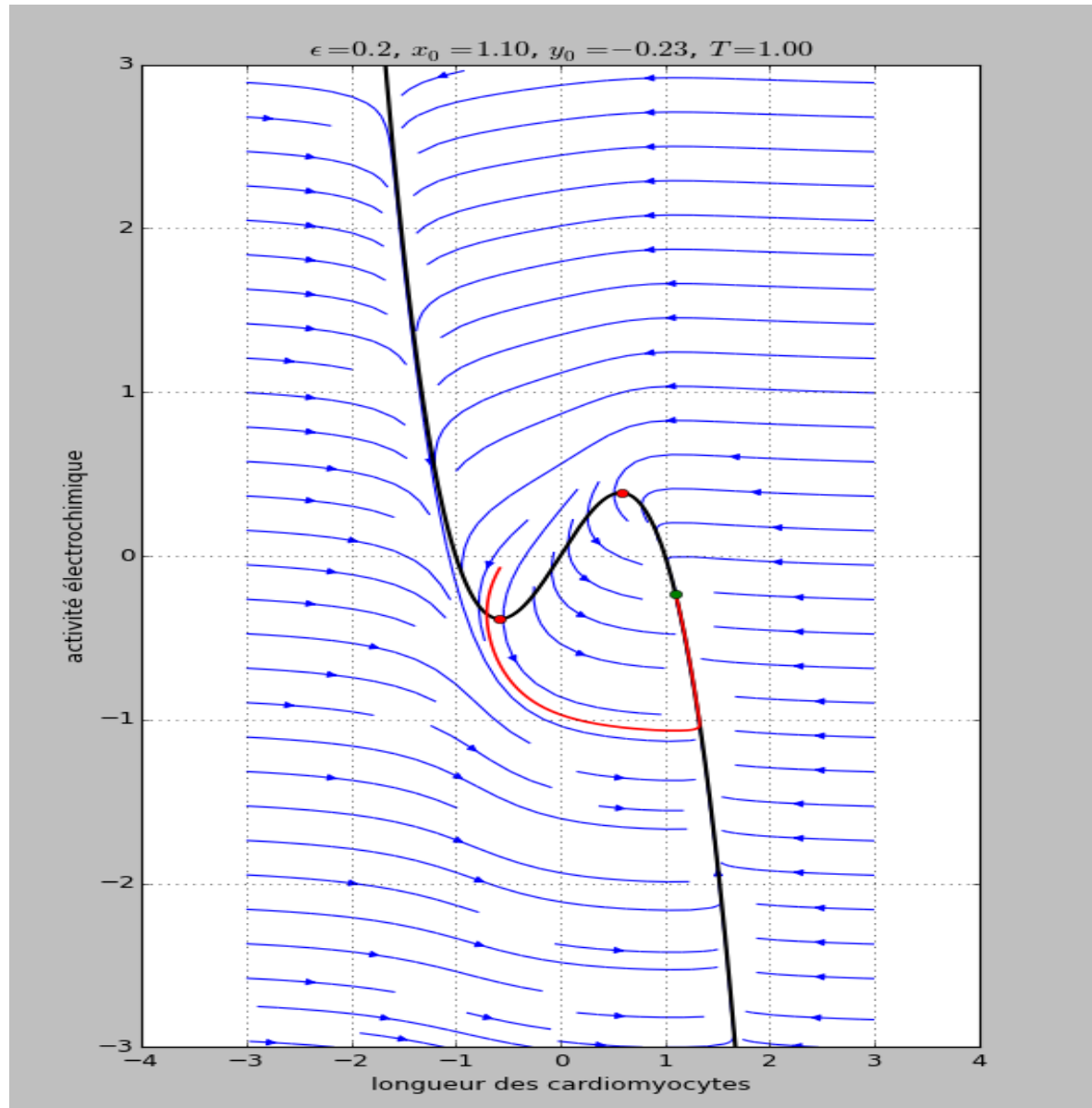
Équilibre: $x^3 - Tx + y = 0 \Rightarrow y = -x^3 + Tx$

Seuil de l'action: $3x^2 - T = 0 \Leftrightarrow x = \pm\sqrt{\frac{T}{3}}$

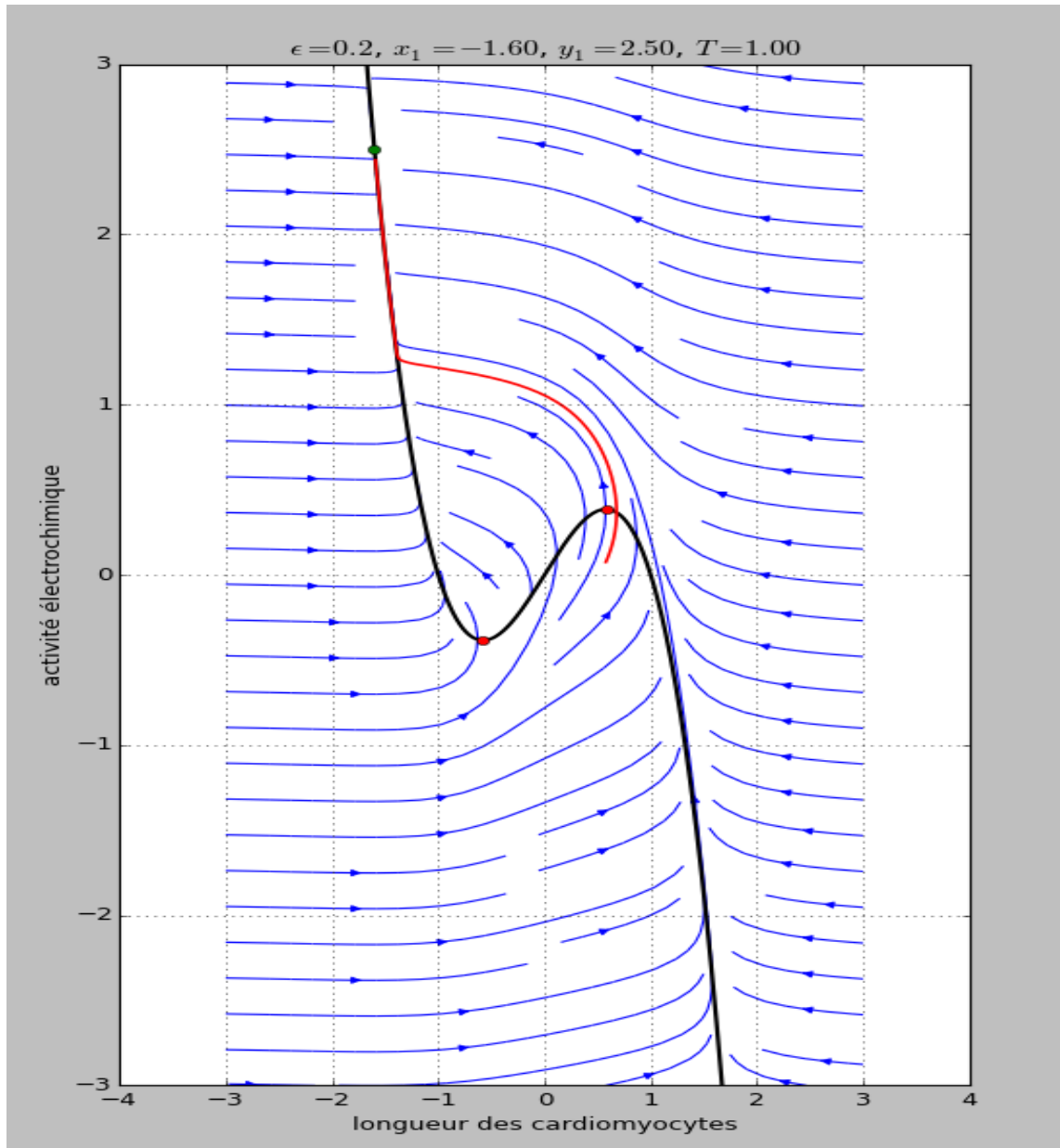
$$x_a = -x_b = \sqrt{\frac{T}{3}}$$

Notons $A(x_a, y_a)$ et $B(x_b, y_b)$ les points délimitant l'action.

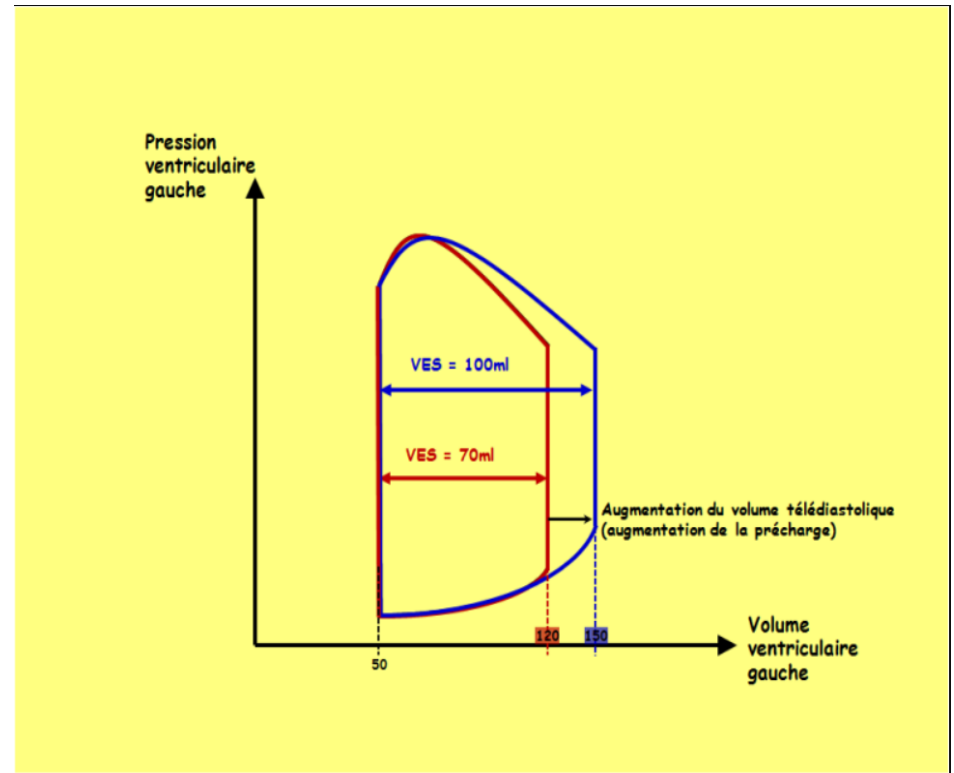
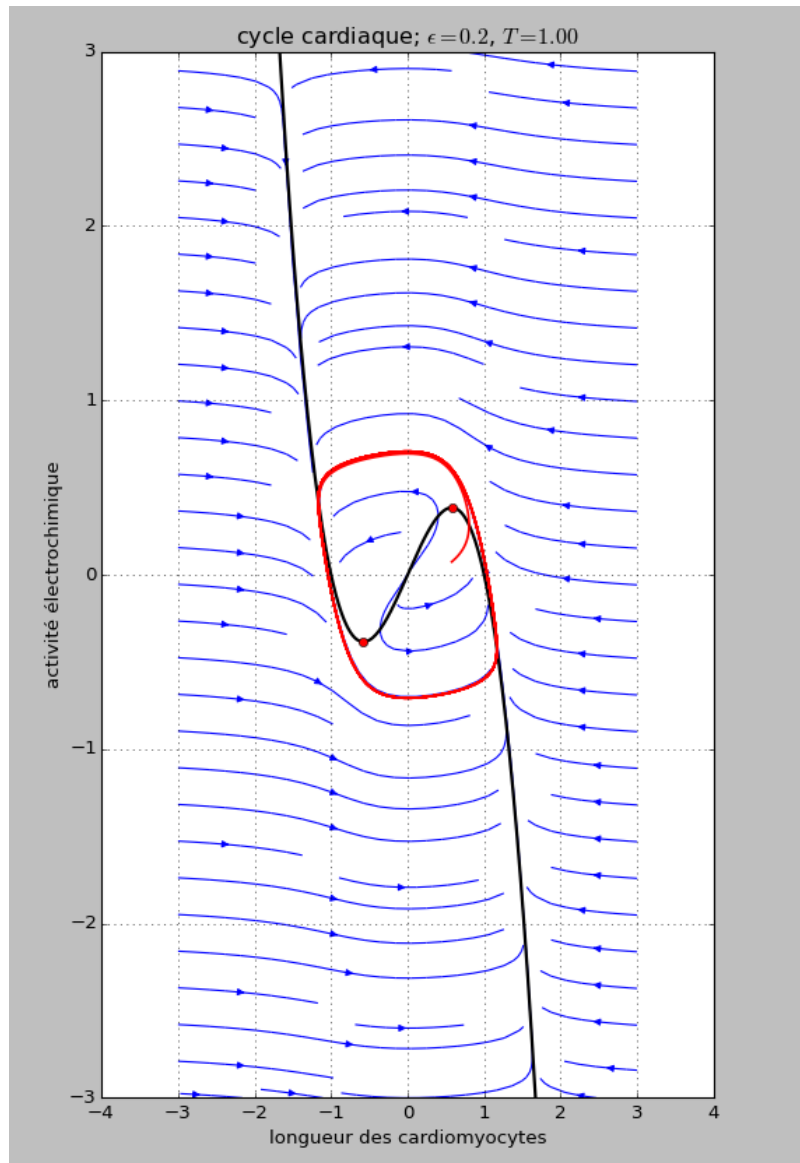
Simulation de la diastole



Simulation de la systole



Lien avec la loi de Frank-Starling



Crédit: Unisciel

Fin de la présentation

Merci de votre écoute.

Annexe 1: Estimation de l'erreur de la méthode d'Euler

$$x(t+h) = x(t) + hf(x(t), \varepsilon)$$

$$x(t+h) = x(t) + hx'(t) + \frac{h^2}{2}x''(t) + O(h^2)$$

$$\Rightarrow f(x(t), \varepsilon) = \frac{x(t+h) - x(t)}{h} = x'(t) + \frac{h}{2}x''(t) + O(h)$$

$$\text{Posons } X = \begin{pmatrix} x_0 \\ x_1 \\ \dots \\ x_{N-1} \end{pmatrix}$$

$$\text{Pour } j \in \llbracket 1, N-1 \rrbracket, \begin{cases} x(t_j) \text{ valeur exacte au temps } t_j \\ f_1(t_j) = \frac{x_{j+1} - x_j}{h} \end{cases}$$

$$\begin{aligned} \tau_j &= \frac{x(t_{j+1}) - x(t_j)}{h} - f_1(t_j) \\ &= [x'(t_j) + \frac{h}{2}x''(t_j) + O(h)] - f_1(t_j) \\ &\simeq \frac{h}{2}x''(t_j) + O(h) \end{aligned}$$

$$\text{Posons } X^* = \begin{pmatrix} x(t_0) \\ x(t_1) \\ \dots \\ x(t_{N-1}) \end{pmatrix} \text{ et } E = X - X^* = \begin{pmatrix} x_0 - x(t_0) \\ x_1 - x(t_1) \\ \dots \\ x_{N-1} - x(t_{N-1}) \end{pmatrix}$$

En notant $A = \frac{1}{h} \begin{pmatrix} 1 & & & \\ 1 & -1 & & \\ & 1 & -1 & \\ & & \ddots & \\ & & 1 & -1 \end{pmatrix}$, E vérifie

$$AE = T = \begin{pmatrix} \tau_0 \\ \tau_1 \\ \dots \\ \tau_{N-1} \end{pmatrix} \Leftrightarrow e'(t) = \tau(t) \text{ et } e(0) = 0$$

$$\Rightarrow e(t) = \frac{h}{2} x'(t) + C$$

$$\Rightarrow e(t) = \frac{h}{2} x'(t) + x_0 - x(t_0) \left(\frac{h}{2} + 1 \right) + O(h)$$

Annexe 2: Validité du modèle de Zeeman

$$x^3 - Tx + y = 0 \Rightarrow \boxed{y = -x^3 + Tx}$$

$$\text{Seuil de l'action: } 3x^2 - T = 0 \Leftrightarrow x = \pm \sqrt{\frac{T}{3}}$$

$$\boxed{x_a = -x_b = \sqrt{\frac{T}{3}}}$$

Notons $A(x_a, y_a)$ et $B(x_b, y_b)$ les points délimitant l'action.

Notons $D(x_d, y_d)$ (diastole)

Diastole valide:

$$x_d > x_a$$

$$\Leftrightarrow x_d > \sqrt{\frac{T}{3}}$$

$$\Leftrightarrow \boxed{T < 3x_d^2}$$

Notons $S(x_s, y_s)$ (systole)

Systole valide:

$$y_s > y_b$$

$$\Leftrightarrow y_s > T x_b - x_b^3$$

$$\Leftrightarrow y_s > \frac{T^{\frac{3}{2}}}{3\sqrt{3}} - \frac{T^{\frac{3}{2}}}{\sqrt{3}}$$

$$\Leftrightarrow y_s > -\frac{2T^{\frac{3}{2}}}{3\sqrt{3}}$$

$$\Leftrightarrow y_s^2 > \frac{4T^3}{27}$$

$$\Leftrightarrow \boxed{T^3 < \frac{27}{4} y_s^2}$$

Listing Van der Pol:

```

1 import numpy as np
2 from matplotlib.pyplot import *
3
4 w_0 = 1                                # pulsation du système
5
6 def f(X,epsilon):
7     x_1,x_2 = X
8     next_X = np.array([x_2,epsilon*(1-x_1**2)*x_2-w_0*x_1])
9     return next_X
10
11 def derivee(x0,epsilon,tmax,N):
12     h = tmax/(N-1)
13     X = [x0]
14     T = [0]
15     for i in range(N):
16         x_i = X[-1]
17         t_i = T[-1]
18         X += [x_i+h*f(x_i,epsilon)]
19         T += [t_i+h]
20     return np.array(X),np.array(T)
21
22
23 X1,T1 = derivee(np.array([2,1]),2,50,10000)    # exemple de condition initiale
24
25
26 def extrait(X,T):
27     x = [elem[0] for elem in X]
28     return x,T
29
30 def extrait_valeurs(X):
31     x = [elem[0] for elem in X]
32     v = [elem[1] for elem in X]
33     return x,v
34
35
36 subplot(221)
37 x_1,t_1 = extrait(X1,T1)
38 plot(t_1,x_1)
39 title(" évolution de x(t); epsilon = 2, w_0 = 1, x_0 = (2,1), t_max = 50, N = 10000")
40 xlabel("t")
41 ylabel("x(t)")
42 subplot(222)
43 x_1,v_1 = extrait_valeurs(X1)
44 plot(x_1,v_1)
45 title(" portrait de phase correspondant; epsilon = 2, t_max = 50, N = 10000 ")
46 xlabel("x")
47 ylabel("x_point")
48 plot(x_1[0],v_1[0],'og')                # coordonnées de la condition initiale

```

```

1 from scipy.integrate import odeint
2 import numpy as np
3 import matplotlib.pyplot as plt
4 import subprocess
5
6
7 epsilon, w_0 = 2, 1
8
9 def f(x, y):
10     return y, epsilon*(1-x**2)*y-w_0*x
11
12
13 def f2(P,t):
14     return V(P[0],P[1])
15
16
17 xmin, xmax, dx = -3, 3, 0.1
18 ymin, ymax, dy = -3, 3, 0.1
19 X,Y = np.meshgrid(np.arange(xmin, xmax, dx), np.arange(ymin, ymax, dy) )
20 f1, f2 = f(X,Y)
21
22 # Dessin des lignes de champ
23 plt.streamplot(X,Y, f1,f2)
24 plt.title('champ de vecteur en (x,y)')
25 plt.xlabel('x')
26 plt.ylabel('y')
27 plt.title("Espace de phase; epsilon = 2, w_0 = 1")
28 plt.plot(0,0,'og')

```

changement de variable matriciel
changement $y = x_{\text{point}}$

fonction qui definit le flot sur \mathbb{R}^2

réseau de points en x,y

calcule le champ de vecteur f sur le réseau qui correspond à l'espace de phases (y,y_{point})

Listing Zeeman:

```

1 import numpy as np
2 from matplotlib import pyplot as plt
3 from scipy.integrate import odeint
4
5 %%
6 eps=0.2; T=1; x0 = 1.1; u = 1; x1 = -1.6
7
8 #Résolution du système
9 def zeeman(y):
10     x,b = y
11     return [ -(b+x**3-T*x)/eps, x-x0 + u*(x0-x1) ];
12
13
14 #Création du flot
15 x_lim = [-3,3]
16 y_lim = [-3,3]
17 X, B = np.meshgrid(np.arange(x_lim[0], x_lim[1]+0.01, 0.1), np.arange(y_lim[0], y_lim[1]+0.01, 0.1))
18
19 x_cub = np.linspace(x_lim[0], x_lim[1], 501)
20 b_cub = T*x_cub-x_cub**3
21 t_sol = np.linspace(0, 20, 2501)
22
23
24
25 a = (T/3.0)**0.5
26 plt.ylim(y_lim)
27 plt.plot(x_cub, b_cub, 'k', lw=2)
28 dXdt, dBdt = zeeman([X,B])
29 plt.streamplot(X, B, dXdt, dBdt)
30 y_sol = odeint(lambda y,t: zeeman(y), [(T/3)**0.5, (1/(27)**0.5)*2*(T/3)*(T/3)**0.5], t_sol)
31 x_sol, b_sol = y_sol.T
32 plt.xlabel('longueur des cardiomyocytes')
33 plt.ylabel('activité électrochimique')
34 plt.plot(x_sol, b_sol, 'r', lw=1.5)
35 plt.grid()
36 plt.plot(x1,T*x1-x1**3,'og')
37 plt.plot(a,T*a-a**3,'or')
38 plt.plot(-a,-T*a+a**3,'or')
39 plt.title('\$\\epsilon=0.2g$, $x_1=0.2f$, $y_1=0.2f$, $T=0.2f$'%(eps,x1,T*x1-x1**3,T))
40 plt.show()

```

paramètres; diastole: u = 0; systole: u = 1

abscisse du point A délimitant le début de l'action

équilibre du système

solution du système

repérer la systole

délimitation de l'action